



УДК 532.526

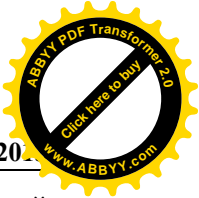
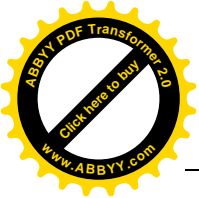
ПРОСТРАНСТВЕННОЕ СВЕРХЗВУКОВОЕ ТЕЧЕНИЕ СОВЕРШЕННОГО ГАЗА С ПОПЕРЕЧНЫМ ВДУВОМ СТРУЙ

БЕКЕТАЕВА А.О., ДУЙШЕНАЛИЕВ Т.Б**Институт математики и матмоделирования МОиН Республики Казахстан,****Алматы****КГТУ им. И. Раззакова, Бишкек****izvestiya@ktu.aknet.kg**

На основе численной методики расчета осредненных по Рейнольдсу уравнений Навье-Стокса для совершенного газа представлено решение задачи поперечного вдува круглой струи в сверхзвуковой поток. В работе исследована ударно-волновая картина, возникающая на обтекаемой пластине. Полученные численные результаты распределения полей скорости на поверхности пластины качественно согласуются с известными экспериментальными данными.

Введение. Теоретическое и практическое изучение взаимодействия поперечной струи со сверхзвуковым потоком связана, прежде всего, с разработкой новых конструкций самолетов короткого взлета и посадки, авиационных силовых установок с управлением вектора тяги, а также при проектировании прямоточных воздушно-реактивных двигателей. При вдуве поперечной струи в сверхзвуковой поток наблюдается повышение тяги, развиваемой струей, по сравнению со случаем, когда вдув струи осуществляется в неподвижную среду. Это объясняется взаимодействием струи с основным потоком, при котором возникает сложная картина течения. Образуется система скачков уплотнения, возникают зоны возвратных течений как перед струей, так и за ней. Характер взаимодействия струи с набегающим потоком зависит от интенсивности вдува, характеризующейся отношением давления p_0 на срезе сопла к p_∞ давлению в потоке, числом Маха струи, параметрами набегающего потока, таких как число Маха потока M_∞ и число Рейнольдса, а также размерами щели или круглого сопла. В качестве геометрических параметров, характеризующих инжекцию поперечных струй, обычно рассматривают длину и конфигурацию зоны отрыва перед струей, а также распределение давления на стенке вблизи сопла инжекции.

Обтекание струй и препятствий достаточно хорошо исследовано экспериментально [1-3]. Среди численных исследований известны работы, в которых моделируется поперечный вдув водорода в канале ПВРД [4-8]. В большинстве таких работ в основном производятся тестовые



расчеты, и практически отсутствует численное исследование физических аспектов полученной схемы течения. Это обусловлено сложной структурой течения в области вдува струи.

В данной работе численно моделируется вдув круглой звуковой струи перпендикулярно сверхзвуковому потоку в прямоугольном канале. Для удобства вычисления рассматривается вдув струи только с нижней стенки (рис.1).

Постановка задачи. Исходной является система трехмерных осредненных по Рейнольдсу уравнений Навье-Стокса для сжимаемого турбулентного газа, записанная в декартовой системе координат в консервативной форме:

$$\frac{\partial \vec{U}}{\partial t} + \frac{\partial(\vec{E}-\vec{E}_v)}{\partial x} + \frac{\partial(\vec{F}-\vec{F}_v)}{\partial z} + \frac{\partial(\vec{G}-\vec{G}_v)}{\partial y} = 0 \tag{1}$$

компоненты векторов $\vec{U}, \vec{E}, \vec{F}, \vec{G}$ определяются выражениями:

$$\vec{U} = \begin{pmatrix} \rho \\ \rho u \\ \rho v \\ \rho w \\ E_t \end{pmatrix}, \quad \vec{E} = \begin{pmatrix} \rho u \\ \rho u^2 + p \\ \rho uv \\ \rho uw \\ (E_t + P)u \end{pmatrix}, \quad \vec{F} = \begin{pmatrix} \rho w \\ \rho uw \\ \rho vw \\ \rho w^2 + p \\ (E_t + P)w \end{pmatrix}, \quad \vec{G} = \begin{pmatrix} \rho v \\ \rho uv \\ \rho v^2 + p \\ \rho vw \\ (E_t + P)v \end{pmatrix},$$

а компоненты $\vec{E}_v, \vec{F}_v, \vec{G}_v$ связаны с вязкими напряжениями:

$$\begin{aligned} \vec{E}_v &= (0, \tau_{xx}, \tau_{xy}, \tau_{xz}, u\tau_{xx} + v\tau_{xy} + w\tau_{xz} - q_x)^T, \\ \vec{F}_v &= (0, \tau_{xz}, \tau_{yz}, \tau_{zz}, u\tau_{xz} + v\tau_{yz} + w\tau_{zz} - q_z)^T, \\ \vec{G}_v &= (0, \tau_{xy}, \tau_{yy}, \tau_{yz}, u\tau_{xy} + v\tau_{yy} + w\tau_{yz} - q_y)^T. \end{aligned}$$

Для давления и температуры запишутся следующие выражения:

$$p = (\gamma - 1) \left[E_t - \frac{1}{2} (\rho u^2 + \rho w^2 + \rho v^2) \right],$$

$$T = \left(\frac{1}{\rho c_v} \right) \left[E_t - \frac{1}{2} (\rho u^2 + \rho w^2 + \rho v^2) \right], \quad c_v = \frac{1}{\gamma(\gamma - 1)M_\infty^2}.$$

Тензоры напряжения и потоки тепла выражаются в виде:

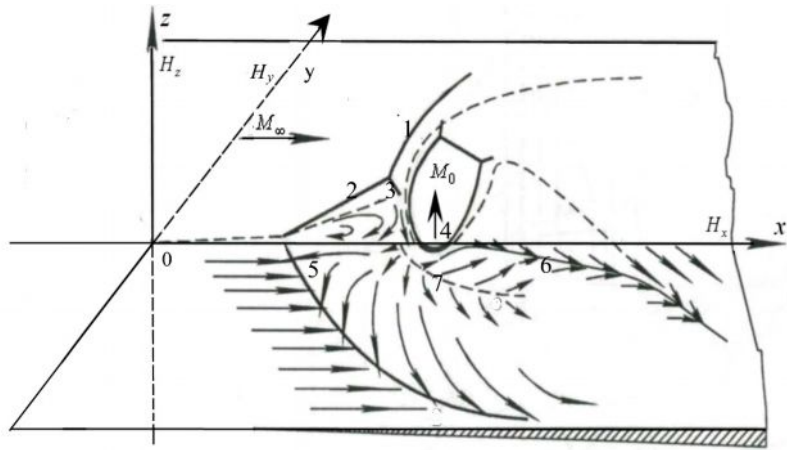


Рис.1. Схема течения

$$\tau_{xx} = \frac{2\mu_t}{3Re}(2u_x - w_z - v_y), \quad \tau_{zz} = \frac{2\mu_t}{3Re}(2w_z - u_x - v_y), \quad \tau_{yy} = \frac{2\mu_t}{3Re}(2v_y - u_x - w_z),$$

$$\tau_{xz} = \tau_{zx} = \frac{\mu_t}{Re}(u_z + w_x), \quad \tau_{xy} = \tau_{yx} = \frac{\mu_t}{Re}(u_y + v_x), \quad \tau_{yz} = \tau_{zy} = \frac{\mu_t}{Re}(w_y + v_z),$$

$$q_x = -\frac{\mu_t}{(\gamma-1)M_\infty^2 Pr Re} T_x, \quad q_y = -\frac{\mu_t}{(\gamma-1)M_\infty^2 Pr Re} T_y, \quad q_z = -\frac{\mu_t}{(\gamma-1)M_\infty^2 Pr Re} T_z.$$

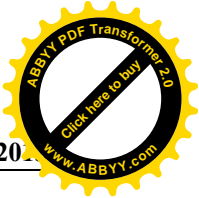
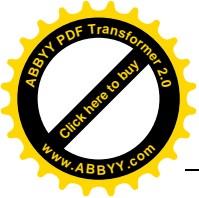
Здесь t - время, u, w, v - компоненты скорости потока в продольном и поперечном направлениях, ρ - плотность, P - давление, T - температура, c_v - теплоемкость при постоянном объеме, γ - показатель адиабаты, M_0 и M_∞ - числа Маха струи и потока, μ_t - коэффициент турбулентной вязкости, Re - число Рейнольдса, Pr - число Прандля, 0 - отнесен к параметрам струи, ∞ - к параметрам потока.

Исходная система (1) записана в безразмерной форме. В качестве определяющих параметров приняты параметры на входе $u_\infty, \rho_\infty, T_\infty$, давление и полная энергия отнесены к значению $\rho_\infty u_\infty^2$, характерным размером длины является диаметр круглого отверстия.

Система (1) замкнута с помощью алгебраической модели турбулентности Болдуина-Ломакса [9].

Граничные условия. На входе задаются параметры потока

$$u=1, v=0, w=0, \rho=1, T=1 \quad x=0, \quad 0 \leq y \leq H_y, \quad 0 \leq z \leq H_z;$$



на нижней стенке

$$u=0, v=0, w=0, \frac{\partial T}{\partial z}=0, \frac{\partial P}{\partial z}=0 \quad z=0, \quad 0 < x \leq H_x, \quad 0 \leq y \leq H_y;$$

на струе

$$u=0, v=0, T=0.6 \quad w=\sqrt{TM_0}/M_\infty, \quad P=nP_\infty, \quad z=0, \quad |x^2+y^2| \leq R.$$

Вблизи стенки задается пограничный слой, продольная составляющая скорости аппроксимируется степенным законом.

На верхней границе выполняется условие симметрии,

$$w=0; \quad \frac{\partial u}{\partial z}=0; \quad \frac{\partial v}{\partial z}=0; \quad \frac{\partial T}{\partial z}=0 \quad z=H_z, \quad 0 < x \leq H_x, \quad 0 \leq y \leq H_y;$$

на боковых границах

$$\frac{\partial u}{\partial y} = \frac{\partial v}{\partial y} = \frac{\partial w}{\partial y} = \frac{\partial \rho}{\partial y} = 0 \quad y=0, \quad y=H_y, \quad 0 < x \leq H_x, \quad 0 \leq z \leq H_z,$$

где H_x -длина, H_z - высота, H_y - ширина расчетной области, R - радиус круглого отверстия.

На выходной границе задается условие неотражения [10].

Метод решения. Для более точного учета течения в пограничном слое, вблизи стенки и на уровне щели, т.е. в областях больших градиентов, вводится сгущение сетки в продольном и в поперечном направлении с помощью преобразований

$$\xi = \xi(x), \quad \zeta = \zeta(y), \quad \eta = \eta(z). \tag{2}$$

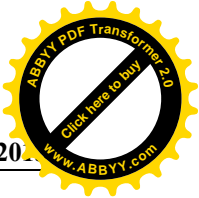
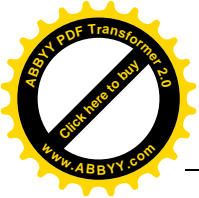
При этом линеаризованная относительно вектора \tilde{U} система уравнений (1) в обобщенных координатах запишется в виде:

$$\begin{aligned} & \left[I + \Delta t \left\{ \frac{\partial A_\xi^n}{\partial \xi} + \frac{\partial B_\eta^n}{\partial \eta} + \frac{\partial Q_\zeta^n}{\partial \zeta} - \frac{\partial \mu_t \xi_x^2}{\partial \xi} \frac{\partial}{\partial \xi} \left(\frac{1}{U_1^n} \right) - \frac{\partial \mu_t \eta_z^2}{\partial \eta} \frac{\partial}{\partial \eta} \left(\frac{1}{U_1^n} \right) - \frac{\partial \mu_t \zeta_y^2}{\partial \zeta} \frac{\partial}{\partial \zeta} \left(\frac{1}{U_1^n} \right) \right\} \right] \tilde{U}^{n+1} = \\ & = \tilde{U}^n + \Delta t \left[2 \left(\frac{\partial \tilde{E}_{vm}^n}{\partial \xi} + \frac{\partial \tilde{F}_{vm}^n}{\partial \eta} + \frac{\partial \tilde{G}_{vm}^n}{\partial \zeta} \right) - \left(\frac{\partial \tilde{E}_{vm}^{n-1}}{\partial \xi} + \frac{\partial \tilde{F}_{vm}^{n-1}}{\partial \eta} + \frac{\partial \tilde{G}_{vm}^{n-1}}{\partial \zeta} \right) + \frac{\partial \tilde{E}_{v22}^n}{\partial \xi} + \frac{\partial \tilde{F}_{v22}^n}{\partial \eta} + \frac{\partial \tilde{G}_{v22}^n}{\partial \zeta} \right] + O(\Delta t^2) \end{aligned} \tag{3}$$

где $\tilde{U} = \frac{1}{J} U$, $J = \frac{\partial(\xi, \eta, \zeta)}{\partial(x, z, y)}$ - якобиан преобразования, $A_\xi = \xi_x A$, $B_\eta = \eta_z B$,

$Q_\zeta = \zeta_y Q$, $A = \frac{\partial E}{\partial U}$, $B = \frac{\partial F}{\partial U}$, $Q = \frac{\partial G}{\partial U}$ - матрицы Якоби. Диффузионные члены

представлены в виде суммы вторых производных искомого вектора U с переменными



коэффициентами вязкости и векторов \tilde{E}_{v22}^n , \tilde{F}_{v22}^n и \tilde{G}_{v22}^n содержащих оставшиеся диссипативные члены.

Для диффузионных векторов потоков со смешанными производными \tilde{E}_{vm} , \tilde{F}_{vm} , \tilde{G}_{vm} используется аппроксимация по явной схеме при равномерном шаге по времени со вторым порядком точности [11].

Система (3) решается методом Бима-Уорминга, для этого здесь применяется факторизация, что приводит к трем одномерным операторам, решение которых производится матричной прогонкой.

$$\begin{aligned}
 & \text{1 шаг. } \left[I + \Delta t \left\{ \frac{\partial A_\xi^n}{\partial \xi} - \frac{\partial \mu_t \xi_x^2}{\partial \xi} \frac{\partial}{\partial \xi} \left(\frac{1}{U_1^n} \right) \right\} \right] U^* = RHS^n \\
 & \text{2 шаг. } \left[I + \Delta t \left\{ \frac{\partial B_\eta^n}{\partial \eta} - \frac{\partial \mu_t \eta_z^2}{\partial \eta} \frac{\partial}{\partial \eta} \left(\frac{1}{U_1^n} \right) \right\} \right] U^{**} = U^* \\
 & \text{3 шаг. } \left[I + \Delta t \left\{ \frac{\partial Q_\zeta^n}{\partial \zeta} - \frac{\partial \mu_t \zeta_y^2}{\partial \zeta} \frac{\partial}{\partial \zeta} \left(\frac{1}{U_1^n} \right) \right\} \right] \tilde{U}^{n+1} = U^{**},
 \end{aligned} \tag{4}$$

где RHS^n - правая часть системы уравнений (3).

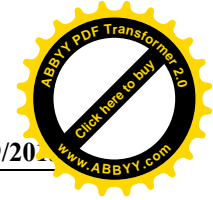
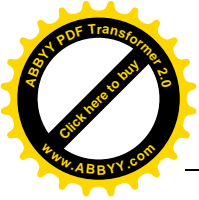
При аппроксимации производных по пространственным координатам в конвективных и диффузионных членах использованы центрально-разностные операторы со вторым порядком точности.

Анализ результатов численного решения задачи

Для расчетов использовались преобразования координат следующего вида [12]:

$$\begin{aligned}
 \xi &= K + \frac{1}{\tau} \operatorname{arsh} \left[\left(\frac{x}{x_{\bar{n}}} - 1 \right) \operatorname{sh}(\tau K) \right], & \eta &= H \left[\frac{(\beta+1) - (\beta-1) \left(\frac{\beta+1}{\beta-1} \right)^{1-\frac{z}{a}}}{\left(\frac{\beta+1}{\beta-1} \right)^{1-\frac{z}{a}} + 1} \right] \\
 \zeta &= K + \frac{1}{\tau} \operatorname{arsh} \left[\left(\frac{y}{y_c} - 1 \right) \operatorname{sh}(\tau K) \right] \text{ где } K = \frac{1}{2\tau} \ln \left[\frac{1 + (e^\tau - 1) \frac{x_c}{L}}{1 - (e^\tau - 1) \frac{x_c}{L}} \right],
 \end{aligned}$$

где β, τ - параметры сгущения, $\beta, \tau > 1$, a - высота расчетной области в обобщенных координатах, x_c и y_c - точки, относительно которых производится сгущение.



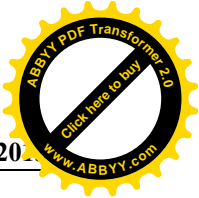
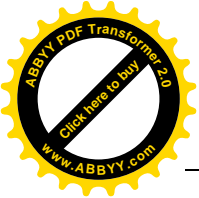
Для подавления высокочастотных возмущений на окончательном этапе вводилось сглаживание четвертого порядка с малым коэффициентом ε при сглаживающих членах. Расчет производился на разнесенной сетке размером $201 \times 101 \times 81$ с шагами по пространственным координатам $\Delta x = 0.1 \div 0.5$, $\Delta z = 0.06 \div 0.25$, $\Delta y = 0.1 \div 0.5$, шаг по времени варьировался в пределах $\Delta t = 0.025 \div 0.05$.

Существующие на данный момент экспериментальные работы дают понимание о закономерностях поперечного вдува струи в сверхзвуковой поток. В работах [1-3,8] продемонстрированы основные особенности течения. Система скачков в набегающем потоке состоит из основного скачка, косоугольного скачка и замыкающего скачка. Внутри струи наблюдается бочкообразный скачок и центральный скачок (диск Маха).

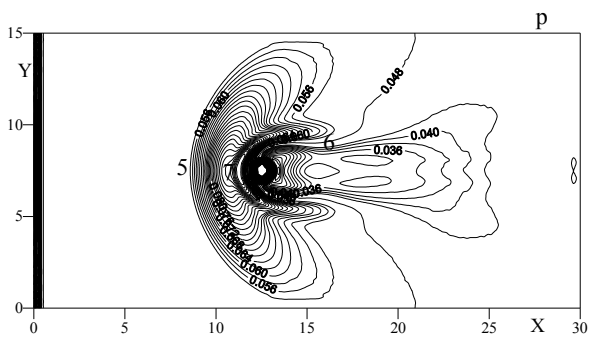
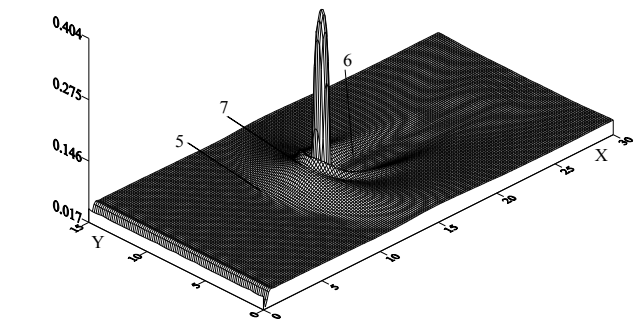
Известно, что распределение давления вблизи струи на стенке, т.е. поле изобарических кривых аппроксимируется криволинейными замкнутыми, вложенными друг в друга эллипсами, давление вдоль которых постоянно. Эту картину можно наблюдать на рисунке 2а ($n=10$, $z=0.063$), где показано распределение изобар вблизи стенки. Перед струей давление принимает максимальное значение, а за струей образуется зона с пониженным давлением. Также на графике показаны границы косоугольного (5 - на рисунке 1 и 2а) и хвостового (6) скачков уплотнения. Эти линии являются границами передней и задней застойных зон. Здесь же прослеживается линия 7, на которой потоки, идущие сверху вниз к обтекаемой поверхности из области повышенного давления за замыкающим скачком уплотнения у стенки растекаются в разные стороны. На уровне $z=1.01$ (рисунок 2б) замыкающий скачок уплотнения выделен интенсивными линиями в виде полумесяца. Далее, в зоне основного потока (рисунок 2в, $z=1.8$), головной скачок уплотнения имеет ярко выраженную клиновидную форму.

Из картины распределения местного числа Маха в плоскости yx (рисунок 3, а) $z=0.063$, б) $z=1.01$, в) $z=1.8$), хорошо видна граница возникающей бочкообразной структуры во вдуваемой струе. Также на картине видно, что поток на пластине является дозвуковым. Непосредственно вокруг бочки возникает ускорение потока, обогнувшего струю. На уровне $z=1.01$, где течение сверхзвуковое, за струей образуется зона торможения вследствие существования области разряжения за струей. На высоте $z=1.8$ четко прослеживается клиновидная форма скачка уплотнения.

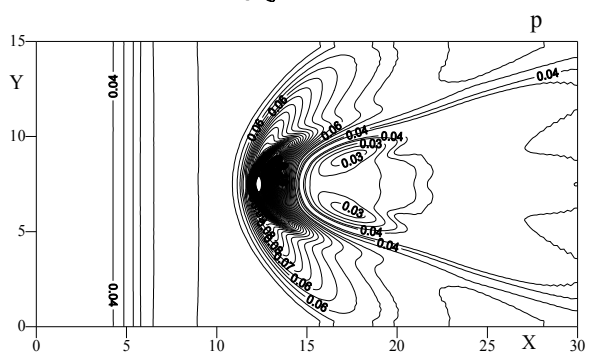
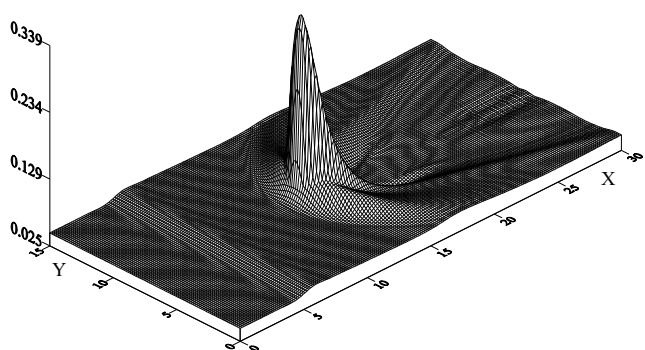
Далее выполнен численный эксперимент поставленной задачи с параметрами ($M_\infty = 3$, $M_0 = 1$, $d = 1.4$ см, $Re = 1.87 \cdot 10^7$, $n = 15$), где течение вблизи стенки сравнивается с экспериментами работы [1]. Так, на рисунке 4а ($z = 0.06$) представлено поле вектора скорости вблизи стенки. Здесь хорошо видны вышеописанные на рисунках 1 и 2 линии стекания (линии 1 и 2) и линия растекания (линия 3). Ниже, на графике 4б, показана фотография



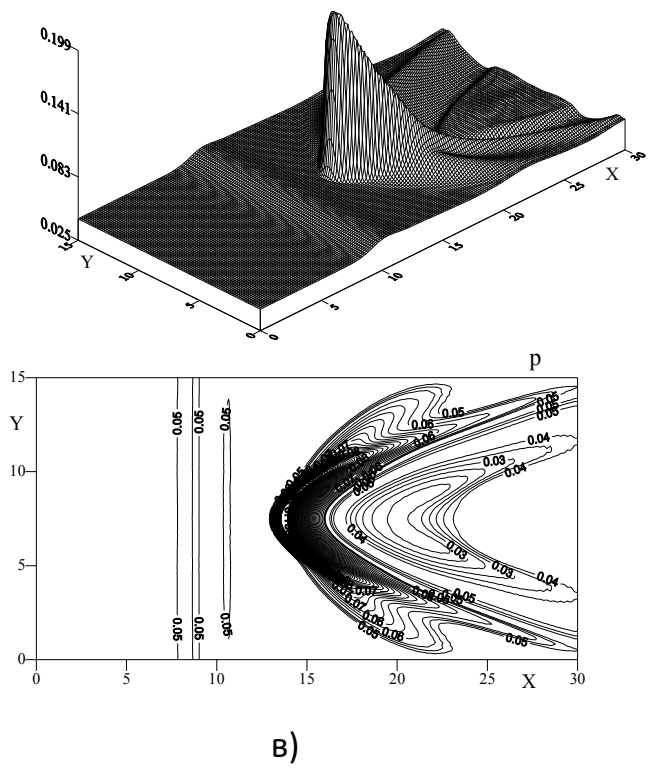
визуализирующего состава на поверхности пластины, которая дает представление о характере течения вблизи струи. Таким образом, из рисунков можно увидеть качественное согласование результатов численного расчета с экспериментом.



a)

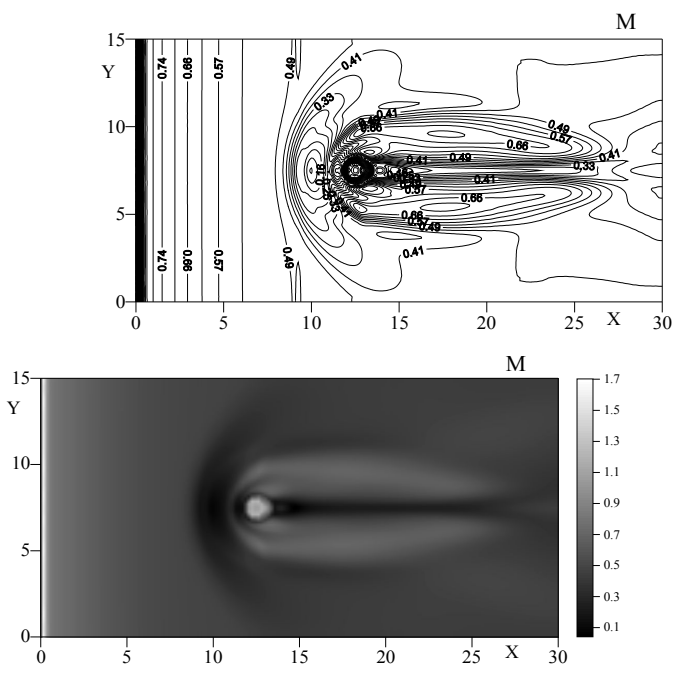


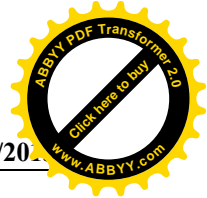
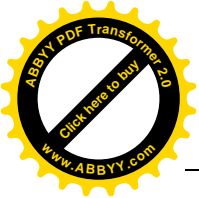
б)



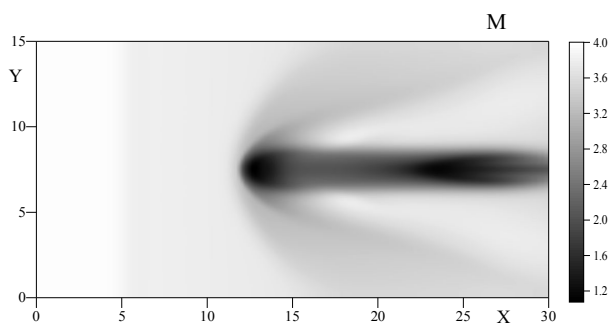
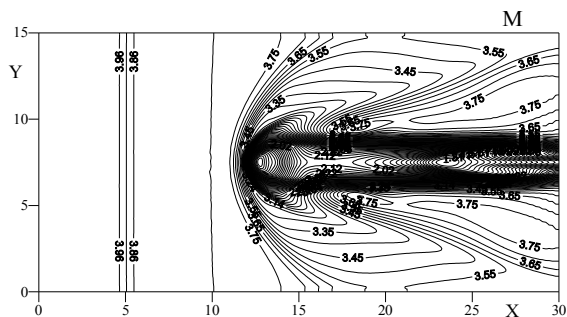
а) $z=0.063$, б) $z=1.01$, в) $z=1.8$
 $M_\infty=4$, $M_0=1$, $n=10$, $Pr=0.9$, $Re=10^4$, $\gamma=1.4$.

Рис.2. Распределение изобар в плоскости uX
в различных сечениях Z

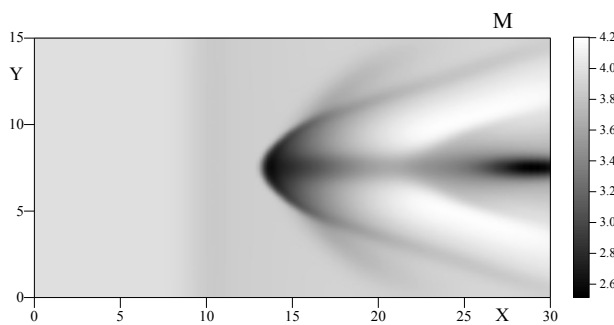
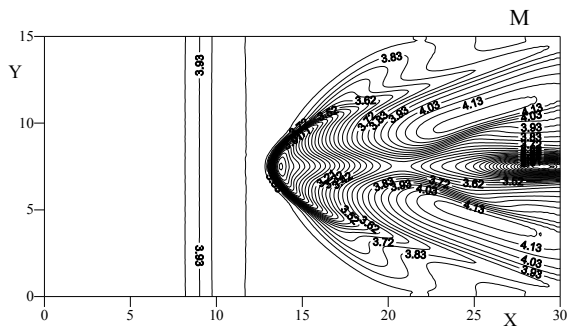




а)



б)

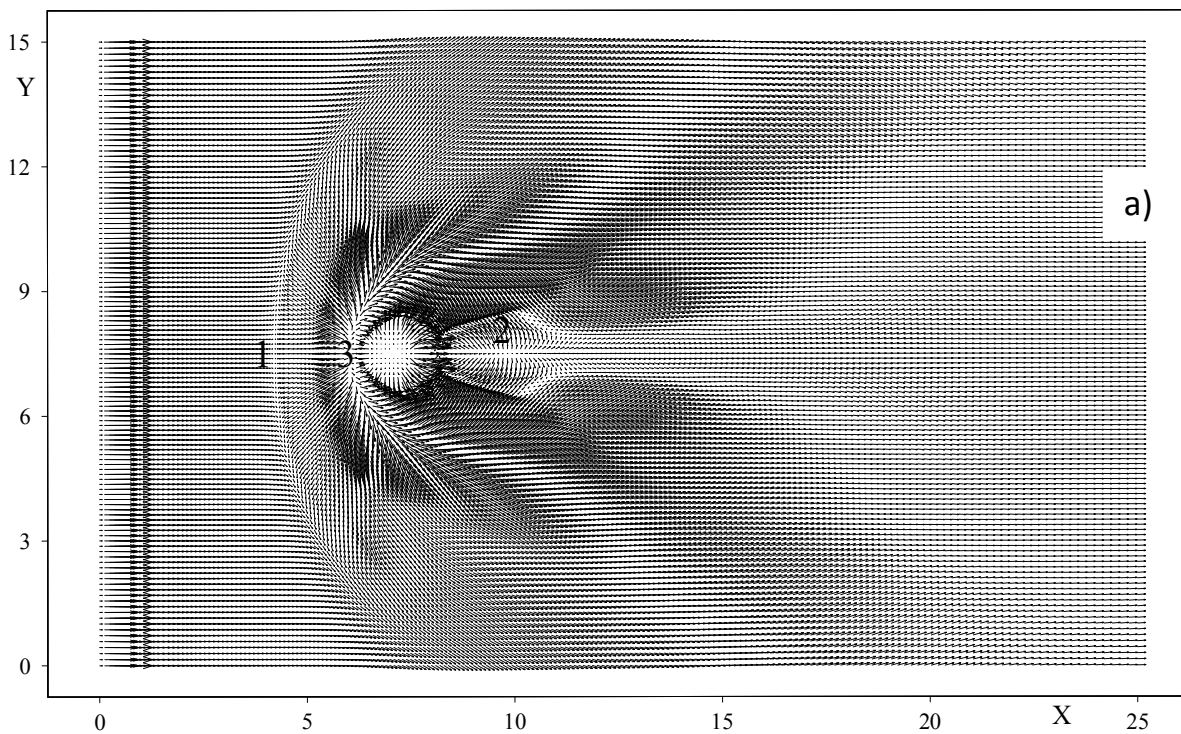


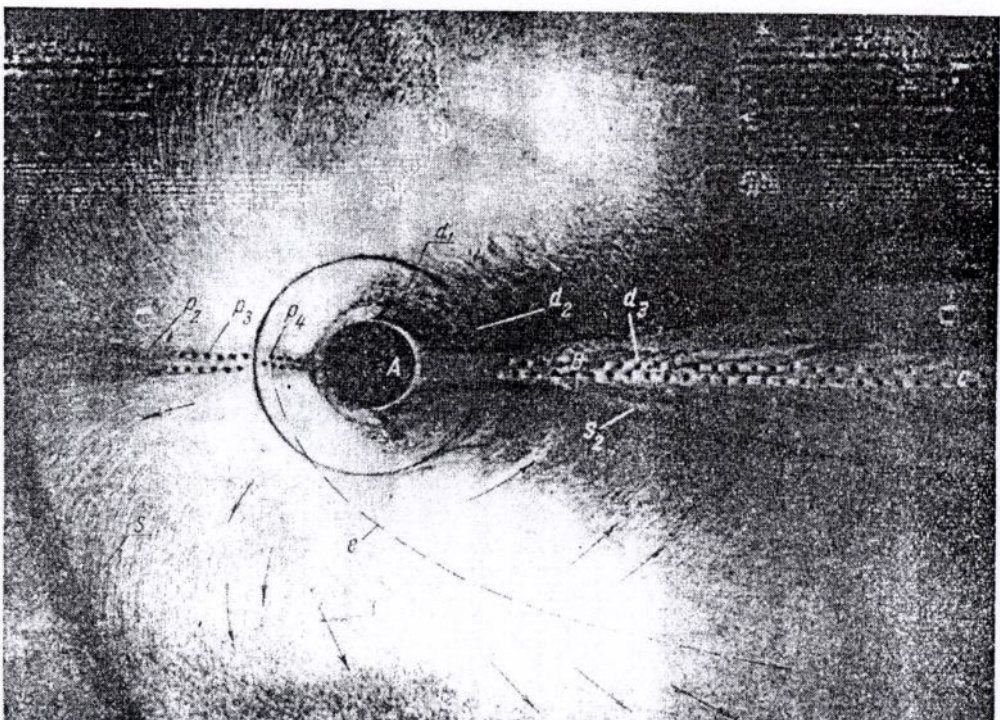
в)

а) $z=0.063$, б) $z=1.01$, в) $z=1.8$

$$M_\infty=4, M_0=1, n=10, Pr=0.9, Re=10^4, \gamma=1.4.$$

Рис.3. Распределение местного числа Маха в плоскости UX
в различных сечениях Z



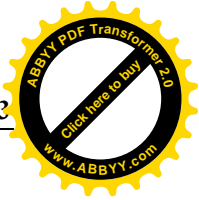
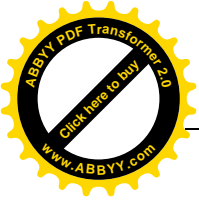


а) сечении $z=0.06$,

б) опытные данные

$$M_{\infty}=3, M_0=1, h=1.4, Re=1.87 \cdot 10^7, n=15.$$

Рис.4. Качественное сравнение расчетов для поля вектора скорости вблизи стенки с опытом [1]



1. Глаголев А.И., Зубков А.И., Панов Ю.А. Обтекание струйного газообразного препятствия на пластине сверхзвуковым потоком // Известия АН СССР. Механика жидкости и газа. 1967. № 3. С.97-102.
2. Авдеевский В.С., Медведев К.И., Полянский М.Н. Взаимодействие сверхзвукового потока с поперечной струей, вдуваемой через круглое отверстие в пластине // Известия АН СССР. Механика жидкости и газа. 1970. № 5. С.193-197.
3. Глаголев А.И., Зубков А.И., Панов Ю.А. Взаимодействие струи газа, вытекающей из отверстия в пластине, со сверхзвуковым потоком // Известия АН СССР. Механика жидкости и газа. 1968. № 2. С.99-102.
4. Grasso F., Magi V., Simulation of Transverse Gas Injection in Turbulent Supersonic Air Flows // AIAA Journal. 1995. Vol.33, № 1. P.56-62.
5. Chenault C.F., Beran P.S. Numerical Investigation of Supersonic Injection Using a Reynolds Stress Turbulence Model // AIAA Journal. 1999. Vol.37, № 10. P.1257-1269.
6. Sun De-chaun, HU Chun-bo, CAI Ti-min Computation of Supersonic turbulent Flowfield with Transfer Injection // Applied Mathematics and Mechanics 2002. Vol. 23, №1.
7. Beresh, S. J., Henfling, J. F., Erven, R. J., and Spillers, R. W., Penetration of a Transverse Supersonic Jet into a Subsonic Compressible Crossflow, AIAA Journal, Vol. 43, No. 2, 2005, pp. 379–389.
8. Бекетаева А.О., Найманова А.Ж. Численное моделирование сверхзвукового течения с поперечным вдувом струй // Прикладная механика и техническая физика. 2004. Т.45, №3. С.72-80.
9. Флетчер К. Вычислительные методы в динамике жидкости. Москва: Мир, 1991.
10. Poinso T.J., Lele S.K. Boundary Conditions for Direct Simulation of Compressible Viscous Flows // Journal of Computational Physics. 1992. № 101. P.104-129.
11. Бим Р.М., Уорминг Р.Ф. Неявная факторизованная разностная схема для уравнений Навье-Стокса течения сжимаемого газа // Ракетная техника и космонавтика. 1978. Т. 16, № 4. С.145-156.

Андерсон Д., Таннехил Дж., Плетчер Р. Вычислительная гидромеханика и теплообмен. Москва: Мир, 1990.